普罗布考对 1 - 甲脲乙醇酸酐诱导 HK-2 细胞表达 纤维化相关因子的影响

杨 波1,王志娣1,蒋云生2,段绍斌2,费良玉1,颜天铭1

(1. 南华大学第一附属医院 肾内科,湖南 衡阳 421001;2. 湘雅二医院 肾内科)

摘 要: 目的 研究降脂药普罗布考对小分子尿毒素 1- 甲脲乙醇酸酐诱导纤维化相关因子在人肾小管上皮细胞表达的影响。 方法 HK-2 细胞分 3 组培养,正常对照组: 不加干预因素; 1- 甲脲乙醇酸酐组: 培养基中加入 0.5 mmol/L 1- 甲脲乙醇酸酐; 1- 甲脲乙醇酸酐 + 普罗布考组: 培养基中加入 0.5 mmol/L 1- 甲脲乙醇酸酐 1. 中脲乙醇酸酐 和 1. 20 1. 1. 中脲乙醇酸酐,这种 1. 中脲乙醇酸酐 中间 1. 中脲乙醇酸酐 和 1. 中脲乙醇酸酐,以观察其在 HK-2 细胞中的表达。 结果 在 1- 甲脲乙醇酸酐刺激后,免疫细胞化学、杂色 HK-2 细胞质中着色,显示 TGF-1. CTGF 和 FN 均有表达。正常对照组 HK-2 细胞质中无着色。测定结果显示 1- 甲脲乙醇酸酐组 TGF-1. CTGF 和 FN 显著高于正常对照组 1. 中服乙醇酸酐组 TGF-1. CTGF 和 FN 显示 1. 中服乙醇酸酐和 1. 中源 1.

关键词: 普罗布考; 1-甲脲乙醇酸酐; 肾小管上皮细胞; 纤维化

中图分类号:R692.5 文献标识码:A 文章编号:2095-1116(2011)04-0390-05

Effect of Probucol on the Expression of Fibrosis Correlation Factor in HK-2 Cells Caused by 1-methylguanidine

YANG Bo, WANG Zhi-di, JIANG Yun-sheng, et al (Department of Nephrology, The First Affiliated Hospital of University of South China Hengyang, Hunan 421001, China)

Abstract: Objective To investigate the effect of probucol on expression of the fibrotic correlation factors on HK-2 with the intervention of 1-methy1guanidine. Methods HK-2 cells were treated with nothing as normal control, 0.5 mmol/L1-methy1guanidine as 1-methy1guanidine group, and 0.5 mmol/L 1-methy1guanidine and 20 μ mol/L probucol as 1-methy1guanidine + probucol group. The protein and mRNA expression of TGF- β_1 , CTGF and FN were examined by immunocytochemistry, flow cytometry and RT-PCR. Results The protein and mRNA expression of TGF- β_1 , CT—GF and FN in HK 2 cells were significantly increased when HK 2 cells were cultivated with 1-methy1guanidine (P < 0.01), but when probucol was added they decreasd(P < 0.05). Conclusion 1-methy1guanidine can promote the expression of fibrosis correlation factors in renal tubular epithelial cells. Probucol can inhibit the expression of fibrosis correlation factors in renal tubular epithelial cells caused by 1-methy1guanidine.

Key words: probucol; 1-methy1guanidine; renal tubular epithelial cell; fibrosis

慢性肾功能衰竭治疗中残余肾功能的重要性已 达成共识,有关残余肾损害机制的研究倍受关

注^[1]。残存肾的小球硬化和间质纤维化一直是研究的焦点,其中尿毒症毒素对残存肾单位的损害也

收稿日期:2011-03-16

逐渐受重视^[2]。1-甲脲乙醇酸酐是新近发现的尿毒症毒素。已有研究证明尿毒症患者血中1-甲脲乙醇酸酐明显高于正常,且在慢性肾衰大鼠的肠道中分离出该物质,研究表明为细菌分解肌酐后的产物^[3]。经肠道重吸收入血,可能为其主要来源。笔者在前期的实验中,发现其对肾小管上皮细胞有毒性作用。本文探讨1-甲脲乙醇酸酐对肾脏纤维化相关因子如纤维粘连蛋白(fibronectin,FN)、结缔组织生长因子(connective tissue growth factor,CTGF)、转化生长因子(transforming growth factor GI,TGF-β₁)在肾小管上皮细胞表达的影响,以进一步认识该毒素。同时用普罗布考干预,以了解该药的抗纤维化作用,为该药开辟新用途提供实验依据。

1 材料与方法

1.1 主要试剂

1-甲脲乙醇酸酐(美国 Sigma),普罗布考(齐鲁制 药有限公司),兔抗人(FN)抗体、兔抗人(CTGF)抗体 和兔抗人(TGF-β₁)抗体,羊抗兔 FITC 荧光素二抗,兔 疫组织化学染色试剂盒、DAB 试剂盒(美国北京中山公司)。正常人近端肾小管上皮细胞(human renal tubular epithelial cell line)HK-2 株:ATCC 公司,美国。Annexin V-FITC 凋亡检测试剂盒(北京宝赛生物技术有限公司)。PCR 仪:Thermo Hybaid (英国)。DNA maker:DL2000 大连宝生物技术有限公司。引物(上海生工生物工程技术服务有限公司)序列见表 1。

表1 引物序列

引物名称	引物序列	片段长度
TGF-β ₁	上游:5'-CTGCGGATCTCTGTGTCATT-3'	246 bp
	下游:5'-CTCAGAGTGTTGCTATGGTG-3'	
CTGF	上游:5'-GAC GGCTGCGGCTGC-3'	344 bp
	下游:5'-CACACCCACTCCTCGCAGCA-3'	
FN	上游:5'-AGCCGCCACGTGCCAGGATTAC-3'	439 bp
	下游:5'-CTTATGGGGGTGGCCGTTGTGG-3	

1.2 主要仪器

DYY-Ⅲ-5 型电泳仪(北京市六一仪器厂); Gel Doc1000 凝胶描图象分析系统(Bio-Rad 公司);细菌滤器、whatmanl 号滤纸(浙江绍兴卫星医疗设备制造有限公司); PC 仪(Thermo Hybaid); 紫外分光光度仪(Beckman 公司); Moduly OD-20 真空冷冻干燥机(Thermo Savant 公司); PC 反应体系(南京创瑞生物技术有限公司); -80℃超低泓冰箱(Forma 公司); DNA 琼脂糖凝

胶水平电泳仪(Bio Rad 公司);凝胶成像分析仪(Bio—Rad 公司);流式细胞仪(美国 BD 公司)。

1.3 实验方法

1.3.1 溶液的配制 肌酐、1-甲脲乙醇酸酐分别溶于 PBS 液中,浓度均为 1 mmol/L,调整 pH 值7.2~7.4 之间。过滤除菌备用。普罗布考溶于 DMSO 中,浓度为 20 mmol/L (为细胞培养液终浓度的 1 000 倍)。

1.3.2 实验分组 HK-2 细胞以 5×10⁴/孔接种于6 孔板,使约为 80%满时,分别加含或不含干预因素的培养液(5% FCS 细胞培养液),每孔 2.0 mL。分为如下 3 组:正常对照组:不加干预因素;1 - 甲脲乙醇酸酐组:培养基中加入 0.5 mmol/L 1 - 甲脲乙醇酸酐;1 - 甲脲乙醇酸酐 + 普罗布考组:培养基中加入 0.5 mmol/L 1 - 甲脲乙醇酸酐和 20 μmol/L 普罗布考。1 - 甲脲乙醇酸酐浓度在试验中均为 0.5 mmol/L,普罗布考浓度为 20 μmol/L。

1.3.3 免疫细胞化学染色分析 每组设3个样品, 分别用于检测 TGF-β、CTGF 和 FN。弃上清液、取出 盖玻片,用纯丙酮固定。用免疫细胞化学 ABC 检测。 1.3.4 流式细胞仪蛋白表达的定量分析 HK-2 细 胞用以上方法培养后,留取部分标本作操作 TGF-B.、 CTGF和FN蛋白定量分析。操作如下:①消化,离心 (2000 rpm 5 min),去上清,加70% 乙醇固定 1 h。② 离心去乙醇:0.1% 吐温 PBS 洗 2 次(每次15 min)。 ③加入一抗 50 μL(1:200 稀释) 过夜。 ④PBS 洗 2 次,每次 5 min。 ⑤加入 FITC 二抗50 μL(1:100 稀 释),避光 30 min。⑥PBS 洗 2 次,每次5 min。⑦加 PBS 悬成0.5 mL,送流式细胞仪检测。分别检测 TGF-β₁、CTGF 和 FN 的含量和表达率。⑧蛋白表达 的定量分析:按照 Morkve 等^[4]提出的荧光指数(FI) 表示蛋白的相对含量,计算荧光指数FI: FI = (样本总 免疫荧光道数 - 对照组总免疫荧光道数)/正常对照 组总免疫荧光道数。⑨以上实验重复3次。

1.3.5 RT-PCR 培养细胞总 RNA 的提取及分离按 TrizoI 试剂说明书提取细胞总 RNA。取 4 L 电泳,检测 RNA 的完整性;取 1~5 L 测定 A_{200} 。计算总 RNA 的量。将抽提的总 RNA 根据它所测的浓度稀释成500 ng/L, 70℃变性 10 min 后进行逆转录反应。反转录条件:95℃, 5 min→5℃,60 min→95℃,5 min→20℃保存。

PCR 扩增:按照 TaKaRa Taq™试剂盒说明生成 20 μL PCR 产物:①按以下比例混合各试剂:0.5 × cDNA 2 μL, 10 mmol/L dNTP 0.4 μL, 10 × PCR Buffer 2 μL 10 pmol/L上游,引物 1 μL,10 pmol/L下游引物1 μL,1 U/μLTaq 酶 2 μL,加无酶水至终体积

20 μL,点离。②PCR 扩增条件为: TGF- $β_1$:95℃ 预变性5 min,开始循环95℃ 30 s,62℃退火 40 s,72℃ 55 s共 28 个循环,72℃ 彻底延伸 7 min,4℃保存; CTGF:95℃预变性 5 min,开始循环95℃ 30 s,60℃ 退火 45 s,72℃ 50 s 共 34 个循环,72℃ 彻底延伸 7 min,4℃保存。FN:95℃ 预变性 5 min,开始循环95℃ 31 s,63℃退火 40 s,72℃ 30 s 共 31 个循环,72℃彻底延伸 5 min,4℃保存; beta-actin 95℃ 预变性 5 min,开始循环95℃ 30 s,57℃退火45 s,72℃ 1 min共28 个循环,72℃彻底延伸7 min,4℃保存。

PCR产物凝胶电泳:各取 2 μL PCR产物进行聚丙烯酰胺凝胶电泳,凝胶成像系统照相并用Quantity one-4.0.3 测量其积分光密度值(integral optical density value, IOD)。并分别计算 TGF-β₁、CTGF、FN mRNA 与 beta-actin mRNA RT-PCR产物积分光密度(IOD)值之比。

1.4 统计分析

实验结果用 $\bar{x} \pm s$ 表示,数据处理采用 SPSS13.0 统计软件包,两组以上进行单因素方差分析(oneway ANOVA),两组间比较采用成组t检验。

2 结 果

2.1 免疫细胞化学染色分析

在1-甲脲乙醇酸酐刺激后,免疫细胞化学染色,

HK-2 细胞质中着色,显示 TGF-β₁、CTGF 和 FN 均有表达。阴性对照组 HK-2 细胞质中无着色。见图 1。

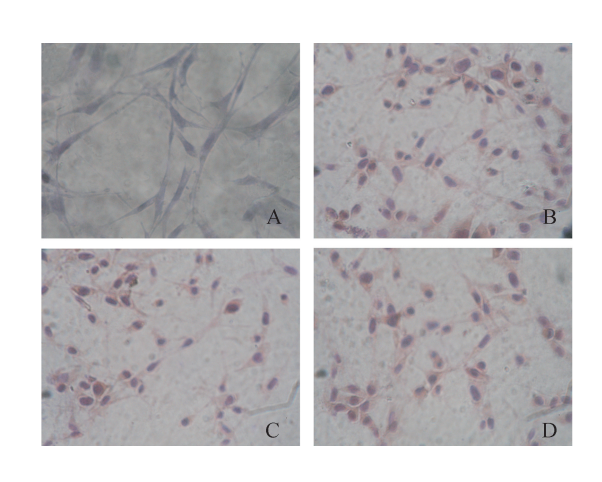


图 1 免疫细胞化学染色(×400)

A:阴性对照组 HK-2 细胞中无表达; B ~ D:分别表示 TGF- $β_1$ 、 CTGF、FN 在 HK-2 细胞中的表达

2.2 流式细胞仪蛋白质定量分析结果

表 2 显示 $TGF-\beta_1$ 、CTGF 和 FN 均有表达, 1- 甲脲 乙醇酸酐组三者荧光指数(FI 值)显著高于正常对照组 (P<0.01),加入普罗布考后,表达显著下降(P<0.05)。

- 2.3 RT-PCR
- 2.3.1 总 RNA 提取 从培养的 HK-2 细胞中提取 总的 RNA,经紫外分光光度计测定 OD260/OD280 值

表 2 流式细胞仪检测 TGF-β₁、CTGF、FN FI 值结果(n=3)

$TGF-\beta_1$	CTGF	FN
0.068 ± 0.011	0.069 ± 0.013	0.086 ± 0.010
2.814 ± 0.135^{a}	2.960 ± 0.155^{a}	3.084 ± 0.155^{a}
2.104 ± 0.125^{ab}	2.111 ± 0.121^{ab}	2.244 ± 0.109^{ab}
	0.068 ± 0.011 2.814 ± 0.135^{a}	0.068 ± 0.011 0.069 ± 0.013 2.814 ± 0.135^a 2.960 ± 0.155^a

a:与正常对照组比较,P < 0.01;b:与 1 – 甲脲乙醇酸酐组比较,P < 0.05

均在 1.8 ~ 2.0 之间,表明总 RNA 纯度较高, DNA 及蛋白质污染较少。分别取 4 μLRNA 溶液在 1% 琼脂糖凝胶上电泳,图 2 示电泳图,显示核糖体 RNA 28S、18S、带清晰可见,且其亮度之比约为 2:1,并隐约可见 5S 带,表明 RNA 带完整,没有发生降解。说明 RNA 质量符合实验要求。

2.3.2 半定量 RT-PCR 结果 结果显示 TGF-β₁、CTGF 和 FN 均有表达,1 – 甲脲乙醇酸酐组三者 FI 值显著高于正常对照组(P < 0.01),加入普罗布考后,表达显著下降(P < 0.05)。具体见表 3,图 3。

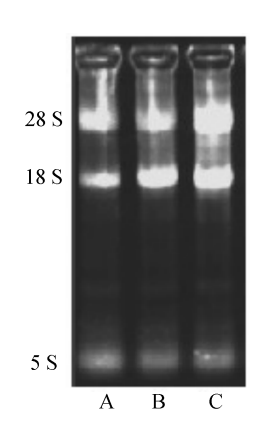


图 2 总 RNA 溶液在 1% 琼脂糖凝胶上电泳图 正常对昭组.B.1 - 甲脲乙醇酸酐组 C.1 - 甲脲乙醇酸酶

A:正常对照组;B:1-甲脲乙醇酸酐组,C:1-甲脲乙醇酸酐组+ 普罗布考组

表 3 RT-PCR 检测 TGF-β, CTGF, FN 结果(n = 3)

组别	TGF-β ₁	CTGF	FN
正常对照组	0.506 ± 0.039	0.233 ± 0.030	0.340 ± 0.036
1-甲脲乙醇酸酐组	1.083 ±0.138 ^a	1.136 ± 0.126^{a}	1.266 ± 0.120°
1-甲脲乙醇酸酐+普罗布考组	$0.781 \pm 0.044^{\rm ab}$	0.821 ± 0.054^{ab}	0.987 ± 0.119^{ab}

a:与正常对照组比较,P<0.01;b:与1-甲脲乙醇酸酐组比较,P<0.05

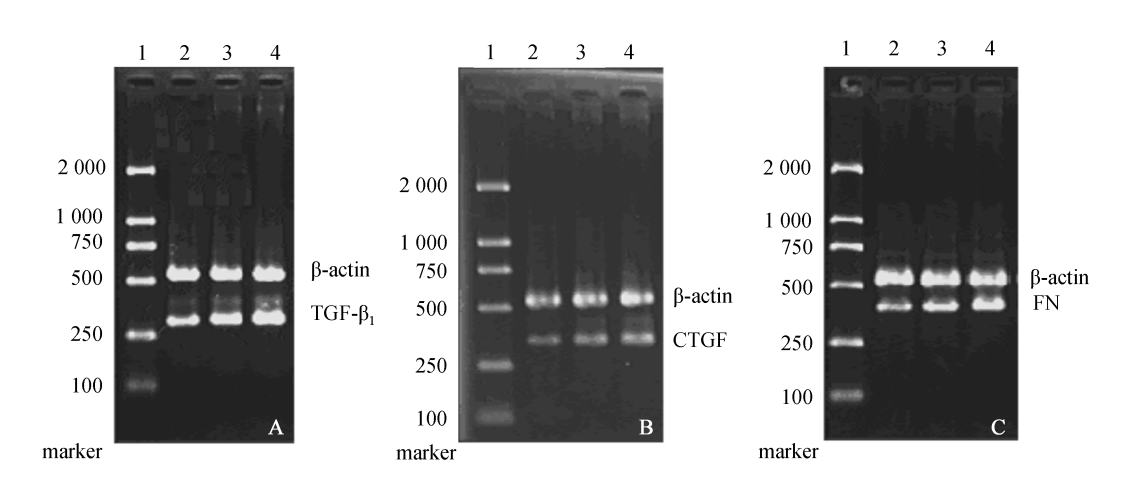


图 3 TGF-β₁、CTGF、FN RT-PCR 电泳图

A~C分别为TGF-β,、CTGF、FNRT-PCR

1:marker:2~4分别为正常对照组、1-甲脲乙醇酸酐组、1-甲脲乙醇酸酐+普罗布考组

3 讨 论

已有的研究资料显示,几乎所有的慢性肾功能 衰竭个体都不同程度出现肾小球硬化和肾小管间质 的纤维化,这是肾脏不可逆性的损害和肾脏疾病的 最终结局,因而研究肾脏纤维化的机制是肾病领域 的热点。近年来对慢性肾功能不全残存肾单位保护 中,已关注到积聚在体内的尿毒症毒素在肾纤维化 中的作用。目前的研究证实,与肾小球硬化相比,肾 间质纤维化与肾功能减退的关系更为密切[2],阻止 和逆转肾间质纤维化的进展成为治疗慢性肾脏病 (CKD)及控制肾功能衰竭的关键。目前认为肾间 质纤维化的主要发病机制包括早期的炎症反应或非 炎症损伤、氧化应激、血流动力学改变、多种细胞因 子及血管活性物质的作用、肾脏固有细胞表型的转 化、肾脏细胞凋亡与增殖失衡等有关[4,5]。笔者发 现1-甲脲乙醇酸酐对肾小管上皮细胞有较强的毒 性作用,可促进细胞的凋亡。现在进一步就其促纤 维化,进行研究。多种因素可以促进肾脏纤维化因 子的产生,如 PDGF、TGF-β,与 CTGF,特别是 TGFβ, 与 CTGF, TGF-β, 是纤维化的关键因子, 该因子 可促进肾小管上皮细胞、成纤维细胞增殖活化,使这 些细胞自分泌和旁分泌 TGF-β₁, I、II、IV型胶原及FN、LN,使细胞外基质增多。另一方面促进降解胶原纤维的抑制物分泌,使纤维降解下降,加速纤维化。FN纤维连接蛋白是细胞外基质的主要成分,具有结合纤维蛋白、纤维蛋白原、胶原的能力,同时也是一种重要的调理介质,通过与整合素结合在介导细胞增殖与间质纤维化中起作用^[6]。

CTGF 为 TGF-β, 下游因子, 在后者的作用下, 肾小管细胞、间质的成纤维细胞和肾小管周围毛细 血管内皮细胞都能产生 CTGF,这些细胞以自分泌 和旁分泌的方式作用于肾脏局部,促进细胞外基质 的分泌聚积。肾小管细胞向肌成纤维细胞转化,形 成纤维化。CTGF 又可反过来扩大其上游 TGF-β, 系统的活性,无论是何种原因所致的肾小球疾病,间 质 CTGF 增加都集中在小管萎缩区以及部分慢性肾 小管间质损害区域、CTGF 共同表达于 a-SMA 阳性 细胞。在多种肾脏疾病的动物模型以及人体多种肾 脏疾病病理标本上发现,间质纤维化越重的部位,细 胞凋亡数量越多,间质纤维化程度与细胞凋亡数量 成正相关[7]。观察发现 CRF 鼠肾小管上皮细胞 TGF-β, 及其下游因子 CTGF 产生增加,并回馈肾小 管上皮细胞本身,促进其分化为肌成纤维细胞,加重 纤维化[6]。

本实验免疫细胞化学染色显示 HK-2 细胞在 1 - 甲脲乙醇酸酐刺激下 TGF-β₁、CTGF 和 FN 均有强表达,通过流式细胞仪蛋白质定量及 mRNA 检测,结果显示 HK-2 细胞在 1 - 甲脲乙醇酸酐刺激下纤维化因子 TGF-β₁、CTGF 及 FN 生成显著高于正常对照组,提示 1 - 甲脲乙醇酸酐促进纤维化因子在肾小管上皮细胞中表达。目前对 1 - 甲脲乙醇酸酐的毒性研究不多,所以其促纤维化机制有待进一步探讨。

随着慢性肾脏疾病进一步损害机制的研究深入 到细胞分子水平,对抗肾纤维化和肾固有细胞的凋 亡,延缓慢性肾衰的进展已引起广泛重视,不少抗纤 维化、抗凋亡的因子、制剂已展示较好的前景。但绝 大多数处于实验研究阶段。国外有用抗氧化剂番小 瓜制剂和 NZ-419 护肾的报道^[7,8]。本实验着重探讨 普罗布考对1-甲脲乙醇酸酐诱导的纤维化相关因 子在 HK-2 细胞表达的作用。普罗布考主要作用是 降低血清胆固醇,并有抗氧化作用,临床用于动脉粥 样硬化的治疗,有显著的抗氧化作用,能抑制泡沫细 胞的形成,延缓动脉粥样硬化斑块的形成。GSH 是 细胞内最重要的巯基抗氧化物,能直接清除 - OH 和超氧化阴离子等氧源性自由基,也可以作为谷胱 甘肽过氧化物酶的辅因子消除 H,O,。普罗布考能 增强谷胱甘肽过氧化物酶和过氧化氢酶活性,抑制 细胞内活性氧产生并增加其清除[9]。慢性肾脏病 (CKD)时活性氧与抗氧化物质严重失衡是活性氧 诱导肾血管内皮细胞的损害的主要机制。目前认为 氧化应激存在于肾脏病的始末,参与肾脏病的发生、 发展,是影响 CKD 患者预后的重要危险因素。但 CKD 的抗氧化治疗尚未引起足够重视。本实验显 示 1 - 甲脲乙醇酸酐组加入普罗布考后, TGF-B.、 CTGF和FN的表达显著低于1-甲脲乙醇酸酐组, 提示普罗布考能降低1-甲脲乙醇酸酐诱导纤维化 相关因子在肾小管上皮细胞的表达。可能与其清除 1-甲脲乙醇酸酐产生的自由基有关,其具体作用机

制,有待动物体内试验进一步探讨。但普罗布考在肾脏病患者中的疗效还需进一步作临床观察。

参考文献:

- [1] 任 伟,兰 雷,叶山东. 透析病人保护残余肾功能的 重要性[J]. 国外医学·老年医学分册,2007,28(4): 185-187.
- [2] 刘海燕,陈孝文,梁 东,等. 尿毒症毒素对人肾小管 上皮细胞外基质的影响及临床意义[J]. 中华急诊医 学杂志,2006,15.
- [3] Yang B, Liu D, Li CZ, et al. 1-Methylhydantoin cytotoxicity on renal proximal tubular cells in vitro [J]. Ren Fail, 2007, 29(8):1025-1029.
- [4] Zeisberg EM. Fibroblasts in kidney fibrosis emerge via endothelial-to-mesenchymal transition [J]. J Am Soc Nephrol, 2008, 19 (12): 2282-2287.
- [5] Burns WC. Connective tissue growth factor plays an important role in advanced glycation end product-induced tubular epithelial-to-mesenchymal transition: implications for diabetic renal disease[J]. J Am Soc Nephrol, 2006, 17 (9):2484-2494.
- [6] Carvajal G. Gremlin; a novel mediator of epithelial mesenchymal transition and fibrosis in chronic allograft nephropathy [J]. Transplant Proc, 2008, 40(3):734-739.
- [7] Noda Y, Murakami S, Mankura M, et al. Inhibitory effect of fermented papaya preparation on hydroxyl radical generationfrom 1-methyl guanidine [J]. Clin Biochem Nutr, 2008,43(3):185-190.
- [8] Ienaga K, Mikami H, Yokozawa T. First indications demonstrafing the preventive effects of NZ-419, a novel intrinsic an tioxidant, on the initiation and/or progression of chronic renal failure in rats E[J]. Biol Pharm Bull, 2009, 32(7): 1204-1208.
- [9] 杨 波,蒋云生. 抗氧化剂对甲基胍所致肾小管上皮细胞凋亡的保护作用[J]. 中南药学,2010,8(1):20-23.

(此文编辑 蒋湘莲)